

線形豫測에 의한 숫자音聲의 自動認識 (A Spoken Korean-Digits Recognition System Based on Linear Prediction Spectra)

吳 永 煥*

(Oh, Yung Hwan and Agui, Takeshi)

要 約

本論文에서는 線形豫測스펙트럼을 주로 利用한 숫자音聲의 自動認識 시스템과 그를 適用한 認識實驗結果에 關해 記述했다. 시스템은 파라메터押出, 有聲 無聲音分析 및 分割, formant追跡部와 認識部의 4段階로 構成되어 있다. 無聲音과 有聲音의 接合部에서의 파라메터의 變化에 着目해 有聲·有聲音을 分割한 후, 有聲音部分에 獨自의 追跡 알고리즘을 適用해서 제3까지의 formant周波數를 自動的으로 推定했다. 推定formant에 立脚해, DP matching手法에 의한 最終認識을 行했다.

成人男性 3名의 150 개의 숫자음에 대한 認識實驗의 結果, 平均 94%의 認識率을 얻어, 本 認識 시스템의 有効性을 確認할 수 있었다.

Abstract

A speech recognition system for separately pronounced Korean digits is described. The system is composed of four stages; parameter extraction, segmentation by voiced-unvoiced analysis, formant tracking and pattern matching. Digit speech is segmented into an unvoiced segment and/or a voiced one using ZCR and energy measurements, then to estimate the first three formant frequencies a relatively simple formant tracking scheme is applied to the raw formant data extracted from linear prediction spectra. Finally, pattern matching is made using dynamic programming method.

Recognition experiment is carried out for 150 digit utterances spoken by three male speakers, and recognition rate 94 % is obtained.

1. 序 論

筆者는 以前, 숫자音聲의 컴퓨터에 의한 自動認識의 可能性을 찾기 위한 基礎實驗의 結果에 관해 報告한 바 있다.^[1] 그러나 實驗對象으로 한 데이터數가 적어, 숫자音의 音聲學的 性質을 全般的으로 把握하기 어려웠으며, 따라서 그에 基礎를 둔 認識 시스템의 適用範圍은 춥게 限定될 수 밖에 없었다. 또한, 音聲의 特性파라메터 (feature parameter)로 使用한 formant

周波數는, 一般的으로 發聲者の 性別, 나이, 發聲時期등에 따라 變化하며 그 存在範圍가 바뀐다. 특히, formant周波數을 線形豫測 (linear prediction)에 의해 求하는 境遇, 極의 脱落이나 追加등에 의해 正確한 周波數를 얻기가 어려우므로, 複數의 發聲者를 對象으로 한 認識 시스템을 構成할 때는 以上的 諸問題點을 解決하지 않으면 안된다.

本論文에서는 複數의 發聲者が 따로 떼어서 發聲한 單獨숫자음을 對象으로 構成한 認識 시스템과 그를 利用한 認識實驗結果에 관해 記述한다. 國語의 單獨數字音은 다음과 같은 性質을 지니고 있다. 즉, (1) 모든 숫자음은 單音節語이며, (2) 無聲音音 (unvoiced consonant)은 머리部分에만 存在하며, (3) 모든 숫자음은 有聲子音 (voiced consonant) 또는 母音, 즉 有聲音으로 끝난다.

* 正會員, 大田工業専門大學 電子科

(Daejon Technical Junior College)

** 非會員, 東京工業大學

(Tokyo Institute of Technology, Japan)

接受日字: 1979年6月12日

以上의 性質을 利用해서 有聲音部分을 中心으로 한 숫자음認識시스템을 다음과 같이構成했다. 우선, 零交叉回數(Zero crossing rate)와 에너지를 利用해 말머리에서 有聲·無聲音의 判別 및 分割(segmentation)을 한 후, 線形像測法에 의해 抽出한 有聲音部分의 formant周波數 데이터에, 比較的簡單한 獨自의 formant追跡 알고리즘(formant tracking algorithm)을 適用해, 第3까지의 formant주파수를 自動的으로 推定했다. 推定된 formant주파수에 DP(dynamic programming)手法을 利用한 matching에 의해 最終認識을 行했다.

한편, 本研究의 意義는 다음과 같은 점에서 찾을 수 있다.

가) 숫자음의 音聲學의 性質이 어느 程度 明確히 해, 認識시스템의 適用範圍의 擴張에 밝은 期望을 주고 있다.

나) 本研究에서 作成해 使用한 自動formant追跡 알고리즘의 有効性을 確認할 수 있었다.

다) 複數發聲者의 숫자음에 대해 좋은 認識結果를 얻어, 여기서 提案한 認識시스템의 有効性을 確認했다는 點등이다.

以下, 認識시스템의 詳細와 實驗結果에 관해 記述한다.

2. 認識시스템

숫자음認識시스템의 系統圖를 그림 1에 보이며, 以下 그 内容에 대해 記述한다.

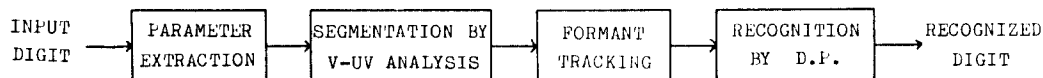


그림 1. 숫자음 인식 시스템의 구성

Fig. 1. Block diagram of spoken digit recognizer.

2. 1 파라메터抽出

入力音聲으로부터 抽出해 實驗에 使用한 特性파라메터는 다음의 세 種類다.

(1) 零交叉回數 ; 分析frame內에서 音聲波가 zero軸과 交叉하는 回數

(2) 에너지 ; 分析frame內의 音聲信號의 振幅의 세 풀합

(3) formant 데이터 ; 線形像測法으로 求한 音聲의 스펙트럼上의 頂點(以後, 極이라 부른다)의 周波數와 각極의 power 및 帶域幅이며, 本 시스템에서는 peak

- picking 法에 의해서 抽出했다. 詳細한 抽出方法은 문헌 (4)에 있으므로 여기서는 省略하기로 한다.

2. 2 有聲·無聲音의 分割

2. 1에서 구한 에너지와 零交叉回數를 利用해, 말머리에서의 有聲·無聲音分析(voiced—unvoiced analysis : V—UV analysis)을 해, 無聲音의 存在如否와 無聲·有聲音이 結合하는 境界點을 抽出해서 最終적으로 分割을 行한다. 本 實驗에서는 有聲音區間內에서의 音素別分割은 하지 않는다. 無聲破裂音 之前에 有聲音이 오는 境遇, 그 境界的 前後에서 零交叉回數가 急激히 減少함과 同時に 에너지가 急增하는 點에 着眼해, 一定의 判斷條件에 의해 無聲破裂音의 有無 및 그 境界를 抽出한다.

여기서 i 번째 frame의 零交叉回數를 Z_i , 에너지를 E_i , 숫자음의 길이(持續時間)를 ℓ frame이라 할 때,

$$DZ_{i-1} = Z_i - Z_{i-1} \quad (i = 2, \dots, \ell) \dots \dots (1)$$

$$PE_i = 100E_i / E_{max} \quad (i = 1, \dots, \ell) \dots \dots$$

$$E_{max} = \max_i [E_i] \quad (i = 1, \dots, \ell) \dots \dots (2)$$

$$DE_{i-1} = PE_i - PE_{i-1} \quad (i = 2, \dots, \ell) \dots \dots (3)$$

을 使用해,

$$S_i = DE_{i+1} - KDZ_i \quad (i = 1, \dots, \ell-2) \dots \dots (4)$$

를 計算한다. 여기서 K 는 conversion factor이며 本 實驗에서는 $K = 1$ 로 했다. S_i 는 無聲音音에서 有聲音으로 바뀔 때에 oun 값 to 가지게 된다.

$$S_m = \max_i [S_i]$$

$$m \in i \quad i = 1, \dots, \ell-2 \dots \dots \dots \dots (5)$$

일때, m 번째 frame을 無聲·有聲音의 境界候補로 해, m 의 前半部가 無聲音區間인지를 다음의 條件에 의해 判定한다.

$$M_f = \frac{1}{m} \sum_{j=1}^m Z_j \dots \dots \dots \dots (6)$$

$$M_b = \frac{1}{\ell-m-1} \sum_{j=m+2}^{\ell} Z_j \dots \dots \dots \dots (7)$$

라 할 때, 條件式(8) 또는 (9)를 滿足하면 말머리에 無聲音音이 存在한다고 判定하며, 그 以外의 境遇는 有聲音만으로構成된 숫자음으로 判定한다.

即, M_f 와 M_b 의 比가 threshold α_4 보다 큰 (差가 显著한) 境遇(式(9)) 와, 比가 α_1 , 보다 작으나 α_2 以上이며, M_t 와 S_m 이 각각 α_1 , α_3 以上인 境遇(式(8))에 m frame의 前半部를 無聲子音區間으로 判定했다. 이와 같이 두 條件을 設定학으로써, 無聲子音等의 特性파라메터의 分散, 時間的 變動等에 對해서 安定된 segmentation을 할 수 있었다.

$$\left. \begin{array}{l} M_f \geq \alpha_1 \\ M_f \geq \alpha_2 M_b \\ S_m \geq \alpha_3 \\ M_f \geq \alpha_4 M_b \end{array} \right\} \dots \dots (8)$$

2. 3 formant 追跡

2. 2 의 分析에 의해 有聲音으로 判定된 部分의 formant 메이터에 대해 tracking을 해, 第 1부터 第 3 까지의 formant 周波數를 自動的으로 推定한다.

線形豫測法(LPC)에 의한 音聲의 推定 spectrum上에서 抽出하는 formant 情報는, 豫測次數나 音素間의 調音(coarticulation) 등에 의해 spurious pole의 餘分으로 追加되나든지, 隣接한 두 極이 하나로 merge되어 脫落極이 생기는 境遇가 있다. 그러므로抽出한 formant 情報를 그대로 使用해 認識이나 合成등을 하면 error의 原因이 된다. 이 問題를 解決하기 위해, 音聲學的 知識을 利用해서 formant 주파수를 컴퓨터에 의해 自動的으로 追跡해 決定하는 tracking 手法은 이미 開發되어 몇몇의 報告가 나와 있다. 本論文에서는, 音素의 固有 formant 周波數을 精密하게抽出하는 代身에 安定된 formant의 軌跡을 구해 認識實驗에 使用할 目的으로, 比較的 簡單한 追跡엔 고리즘을 獨自의으로 作成해 使用했으므로 以下 그內容에 대해 記述한다.

本 追跡 알고리즘은 다음과 같은 前提條件下에서 成立한다.

- 보는 音素 (phoneme)는 3.5KHz 以内에 적어도 3개의 formant를 가진다.
 - 특殊한 境遇 (예를 들면 母音과 鼻音의 結合時)를

除外하고, frame 間隔 (12.8 ms) 内에 各 formant 가 變化할 수 있는 範圍는 最大 \pm 500Hz 다.

3. 追加된 spurious pole은 正常極에 比해 , power 가 작고 帶域幅이 넓다.

4. 한 分析 frame 内에서 생길 수 있는 spurious pole은 한 개 以下다.

이상의 조건을 前提로 作成한 追跡과 고리즘의 系統
圖를 그림 2에, 順序圖를 그림 3에 보인다. 그림 3
에서, 각각

N_j ; 第 j 番 frame 의 , 周波數 3.5KHz 以下에 存在하는 極의 數

F_{ij} : j frame의 i 번째 極의 周波數 (Hz)

P_{ij} ; F_{ij} 에對應하는極의 power (dB)

B_{ij} ; F_{ij} 에 대응하는極의 帶域幅 (Hz)

EF_{ij} ; 追跡 알고리즘에 의해 推定한 formant 周波數 ($i = 1, 2, 3$) 다.

2.3.1 始點의決定

本 시스템에서는 音聲信號의 始點·終點分析 (end-point analysis)을 따로 행하지 않으므로 有聲音部의 첫번째 frame의 formant 패턴이 正常이라고만은 할 수 없다. formant追跡의 境遇, 現在의 frame의 formant가 正常인가를 前frame과의 比較에 의해 判定하기 때문에, 始點의 formant를正確하게 定할 必要가 있다.

本實驗에서는, 최대에너지frame(但, $N_j \geq 3$ 인 境遇로, $N_j < 3$ 인 때는 $j+1$ 번 frame)의 formant를 基準으로 하여, 基準formant 와의 差가 어느 값(여기서는 500 Hz)以下인, 有聲音部分中 先頭에 가장 가까운 frame을始點으로 해 追跡을 開始한다. 한편, N_j 가 4인 境遇는 그림 3의 $N = 4$ 의 處理를 해 spurious pole의 有無를 check한다. 위의 條件에 合致하는 frame이 一定frame以上存在하지 않을 때와, 音聲의 길이가 一定frame以下의 短은 音聲일 때에는, 先頭로부터 安定된 formant 패턴이 두 frame以上繼續되는 곳에서 追跡을 開始하

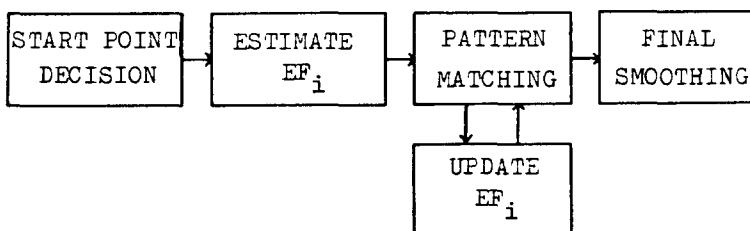


그림 2. Formant 追跡에 고리즘의 구성

Fig. 2. Block diagram of formant tracking.

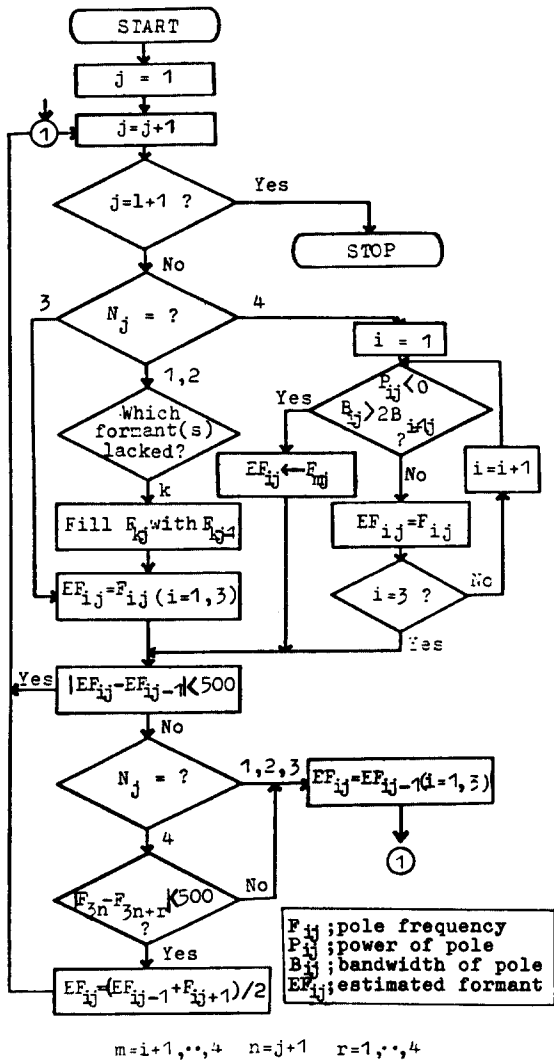


그림 3. Formant 追跡의 順序圖

Fig. 3. Flow chart of formant tracking.

다. 이 조건은最大에너지 frame이先頭frame과 다른 音素일 境遇에對處하기 위해設定했다.

2.3.2 脫落極의 對策

極의 脱落한 境遇. 各 formant別로前frame과의 pattern matching을 해, 距離 D_{kl} 의 합이 最小가 되도록 脱落極을前frame의該當周波數로 채운다. formant間 距離를

$$D_{kl} = |EF_{kj-1} - F_{lj}| \quad (l = 1, \dots, N_j) \dots (10)$$

로 定義했을 때,

$$(가) N_j = 1 인 境遇$$

$$D_{mj} = \min_k [D_{kj}] \quad \dots \dots \dots (11)$$

$$m \in k, k = 1, 2, 3$$

$$EF_{mj} = F_{1j}$$

$$EF_{nj} = EF_{nj-1} \quad \} \dots \dots \dots (12)$$

$$n \neq m, n \in k$$

$$(+) N_j = 2 인 境遇$$

Step 1. $D_{11} < D_{21}$ 이면 $EF_{1j} = F_{1j}$ 로 한 뒤 Step 3에. 그以外는 Step 2에.

Step 2. $EF_{1j} = EF_{1j-1}, EF_{k+1j} = F_{kj} (k = 1, 2)$ 로 한 뒤 Step 5에.

Step 3. $D_{22} < D_{32}$ 이면 $EF_{2j} = F_{2j}, EF_{3j} = EF_{3j-1}$ 로 한 뒤 Step 5에. 그以外는 Step 4에.

Step 4. $EF_{2j} = EF_{2j-1}, EF_{3j} = F_{2j}$ 로 한 뒤 Step 5에.

Step 5. 끝. 다음의 處理에.

2.3.3 追加極의 對策

주로 母音의 鼻音化(nasalization)現象에 의해 나타나는 spurious pole은一般的으로 power가 작고 帶域幅이 큰 性質이 있으므로. 이를 利用해 顯著한 追加極은 除去할 수 있다. 本 實驗에서는 power가 0 dB以下로, 帶域幅이 다음 formant의 帶域幅의 2倍以上 넓을 때 spurious pole로 보아 除去한다.

2.3.4 個變化에의 對應

上述한前提條件 2는 大部分의 有聲音에 有効하다. 그러나, 母音과 鼻音의 接合部에서는 短時間內에 대단히 個變化를 觀察할 수 있다. 特히 比較的 낮은 frame rate에 의한 分析에서는 이 傾向이 세게 나타나, 條件의 限界를 넘는 境遇도 자주 일어난다. 本 시스템에서는, 鼻音은 3.5 KHz 以內에 대개 4개의 極을 지니며, 相當히 安定된 formant 패턴을 보이는點에着眼해서, 다음과 같은 條件을 設定했다. 즉, 그림 3의 $N_j = 4$ 의 處理를 해도 matching 條件을 滿足하지 않는 境遇에 限해, 뒤의 一定 frame을 調査해 formant 패턴일 때, 條件 2를 넘는 個變化를 認定함으로서 좋은 結果를 얻고 있다. 한편, 이 때의 推定 formant周波數는 前後 frame의 平均值을 취했다.

2.3.5 Smoothing

追跡 알고리즘에 의한 formant의 推定이 끝나면, 最終으로 式 (13)^[1]의 smoothing을 해, 부드러운 formant 軌跡을 얻는다.

$$EF_{ij} \leftarrow \frac{1}{4}EF_{ij-1} + \frac{1}{2}EF_{ij} + \frac{1}{4}EF_{ij+1} \dots \dots (13)$$

2. 3. 6 他追跡手法과의 比較

線形豫測法에 의해 구한 spectrum上에서 peak-picking에 의해抽出한 極情報로부터 제 3 formant까지推定하는代表的인手法으로 문현(3)과(4)를 들 수 있다. 脫落極을 찾기 위한反復處理^[3]를 하지 않는比較的簡單한手法인 문현(4)와比較해, 本手法은 다음과 같은特徵이 있다.

1. 本 시스템에서는比較的 낮은 frame rate와豫測次數로 分析했다 (frame interval 12.8ms,豫測次數 12). frame rate가 높으면 formant追跡의 精度가 높아지며,豫測次數가 어느程度 높으면 脱落極이 줄어追跡error가 적어진다. 그러나, 認識을 目的으로 하는境遇, 高精度로 formant周波數를推定하기보다는短時間에 安定한軌跡을求하는 것이有利하다. 文獻(3)에서는各各 5 ms, 14次이며(4)에서는 6.3 ms, 15次로 本 시스템에 비해 2倍以上의 frame rate로 分析하고 있다.

2. 本 시스템에서는 formant의 存在範圍을 넓게 잡고 있으므로 (3.5 KHz), 單獨으로發聲된 제 3 formant가 높은 音素(예를 들면 /이/)도充分히處理할 수 있다.

3. 本 시스템에서는一定條件下에서 큰變化를許諾함으로서, 母音—鼻音의結果等에서 볼 수 있는急激한 formant의變動도追跡할 수 있다.

4. 帶域幅과 power를考慮함으로서 spurious pole을効果적으로除去할 수 있다.

5. 追跡에 있어서始點의初期値로固定値를 使用하지 않고, 에너지最大frame의formant周波數를利用함으로서始點의不正確한決定에의한追跡error를 줄일 수 있다.

2. 4 認識

以上의 알고리즘에 의해 말머리에서의有聲·無聲音分析과, 有聲音에對해 formant追跡 알고리즘을適用해推定한 formant周波數를利用해最終的인認識을행한다. 本實驗에서는持續時間이 서로 다른千字音間의時間軸을正規化(normalization)하기위해 DP matching^{[5][6]}手法을使用했다. 또한無聲音間의識別은하지않으며, 모두formant周波數가零인同一音素로看做했다. DP matching의動作을그림4에보인다.一般的으로널리쓰이는linear matching은그림4의②의線上에서mathing을행함으로 두pattern의길이가같아야하며, 도중의少數pattern의不一致가最终結果에크게影響을미

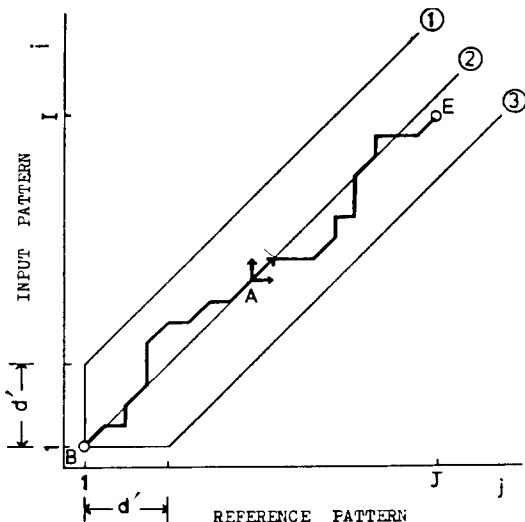


그림 4. DP에의한時間軸의正規化

Fig. 4. Time-axis normalization by dynamic programming method.

친다. DP는注目點의前後 d' 의範圍內에서(①과③사이),出發點B와終點E와의距離를最小(또는類似度를最大)로하는matching path를求하는手法이다. 한편,注目點A에서취할수있는path는화살표로表示한水平,垂直,對角線의 세方向에限定된다. 實際認識은, 初期條件(15)下에서漸化式(recursive equation)(14)를利用해, 두 패턴間의類似度의尺度로서(16)式의S를利用해서行했다(문현(6)). 즉,類似度의尺度(距離)S를最小로하는千字音을認識千字音으로했다.

$$g_{ij} = \min \left[\begin{array}{l} d_{ij} + g_{i-1,j} \\ d_{ij} + g_{i,j-1} \\ 2d_{ij} + g_{i-1,j-1} \end{array} \right] \quad \dots \dots \dots (14)$$

$$i = 1, \dots, I \quad j = 1, \dots, J$$

$$g_{11} = d_{11} \quad (15)$$

$$S = \frac{1}{I + J - 1} g_{IJ} \quad (16)$$

I는人力패턴의, J는標準패턴의길이(frame數)로서 $|I - J| \leq d'$ 의條件를滿足한다. 上의條件下에서(14)式을連續的으로풀어, 最終的으로두패턴間의最小距離(最大類似度)S를(16)式에의해얻는다. 한편,(14)式에서, $g_{ij} = \min [\cdot]$ 는 g_{ij} 로서괄호안의세式중의最小直를취하는것을뜻하며, 두frame i, j 間의距離 d_{ij} 는

$$d_{ij} = \sum_{k=1}^3 |EF_{ki} - LF_{kj}^{(t)}| \quad \dots \dots \dots \quad (17)$$

로 定義했다. 여기서 EF_{ki} 는 追跡 알고리즘에 의해 推定한 入力숫자음의 i frame 的 formant 周波數이며, $LF_{kj}^{(t)}$ 는 숫자음 t 的 標準패턴의 j 번째 frame 的 formant 周波數다.

3. 實驗

以上의 認識システム을 利用해서 實際 숫자음에 關해 認識實驗한 結果에 대해 以下 記述한다.

3. 1 實驗데이터

實驗에 使用한 데이터는 成人男性 3人이 5回씩 反復해서 發聲한 總 150個의 숫자음이다. 조용한 방에서 tape recorder에 錄音한 音聲을 cut-off frequency 5KHz, -12 dB/oct의 low-pass filter에 通過시킨 후, sampling 周波數 10KHz, 12bit로 A-D 變換했다. Formant 情報抽出時는 25.6 ms의 Hamming window를 전 후에 分析했다. 分析frame의 길이는 256點 (25.6ms)이며, frame 間隔은 128點 (12.8ms)豫測次數는 12다.

3. 2 實驗結果

3. 2. 1 分割

2. 2의 手法에 의한 말머리에서의 有聲·無聲音分

析에 使用한 常數는 $\alpha_1 = 100$, $\alpha_2 = 1.3$, $\alpha_3 = 60$, $\alpha_4 = 1.9$ 다. 常數는 認識實驗과 同一發聲者の 데이터를 使用한豫備實驗에 의해 定했으며, 全데이터에 대해 有聲·無聲音의 判定 및 接合部의 抽出에 error가 없었다. 여기서 使用한 無聲音과 有聲音의 境界에서의 파라미터의 變化에 注目하는 分割手法은 短時間內에 有聲音과 無聲音이 交代로 바뀌지 않는 音聲데이터에 대해서, 有効한一手法이라 볼 수 있는 것이다.

3. 2. 2 formant追跡

여기서 提案한 formant追跡 알고리즘의 適用結果의例를 그림 5에 보인다. 그림은 CRT display 表示된結果이며, 左쪽이 原formant情報이며, 오른쪽이 自動追跡에 의해 推定된 formant周波數의 軌跡이다.

그림 5-(a)의 境遇, 單獨母音 /i/ 的 제3formant가相當히 높고, spurious pole이 많이 나타났으나 好結果를 얻었다. 그림 5-(b)의 境遇는, 母音과 鼻音의 結合에 의해 接合部에서의 極의 變化가 빠르며, 隣接極의 融合에 의한 極의 脫落이 보이나, 부드러운 formant의 軌跡을 얻었다. 그림 5-(e)의 境遇는, 二重母音 /e/ 와 鼻音 /o/ 的 結合에 spurious pole, 脱落極 및 빠른 變化 등 複雜한 움직임을 보이고 있으나 効果的으로 極의 推定이 행해졌다.

本 알고리즘에 의한 追跡에 失敗한 例를 그림 6에 보인다. 그림 6-(a)와 (b)는 始點決定의 基準이 되는 最大에너지 frame의 formant 패턴의 不備(極의

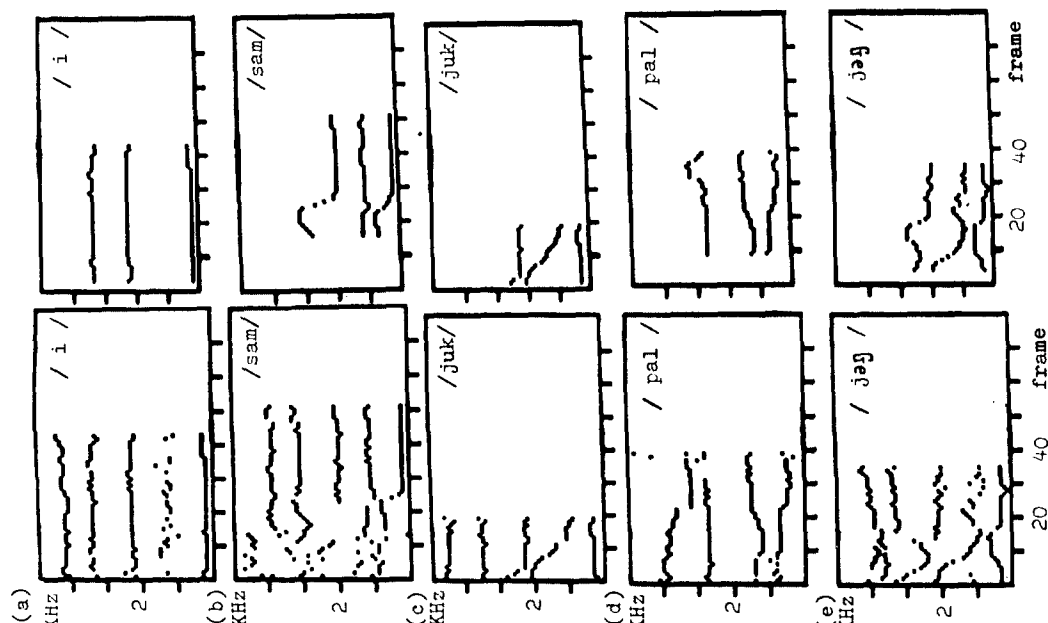


그림 5. 原formant데이터(왼쪽)와 追跡 알고리즘에 의해 推定한 formant 軌跡(오른쪽)

Fig. 5. Raw formant trajectories (left-hand side) and estimated ones by tracking (right-hand side).

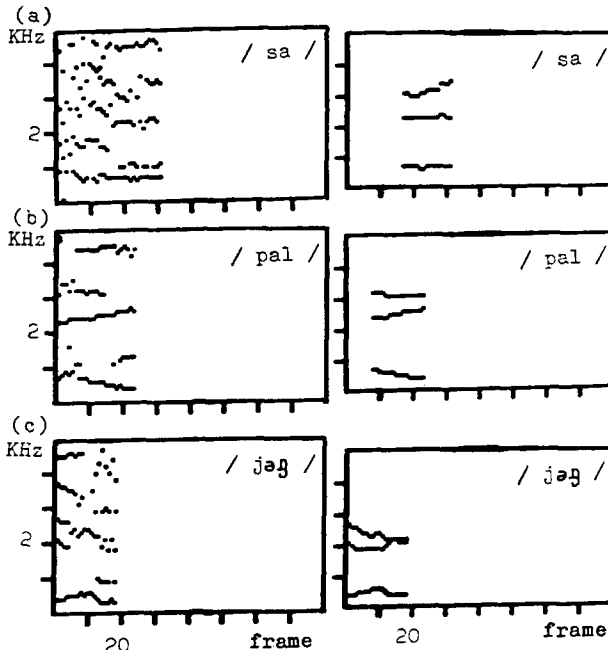


그림 6. Formant 追跡에 失敗한 例

Fig. 6. Examples of failures in tracking.

脱落)에 失敗의 原因이 있으면, 그림 6-(c)의 境遇는 여러 frame에 걸쳐 極의 脱落이 繼續되고, 그 사 이에 formant의 變化가 커서 제 2 formant의 追跡이 不可能한 例다.

3. 2. 3 認識結果 및 檢討

표 1. 인식결과

Table 1. Confusion matrix.

OUT IN \ \	1	2	3	4	5	6	7	8	9	0
1	15									
2		15								
3			14			1				
4				14			1			
5		2			13					
6				1	14					
7						15				
8							2	13		
9									15	
0		1	1							13

認識實驗에 의해 最終的으로 얻어진 認識結果를 표 1에, 發聲者別 認識率等을 표 2에 보인다. 여기서 標

표 2. 發聲者別 認識結果

Table 2. Correct rate for each speaker.

發聲者	평균길이	표준偏差수	認識率 %
# 1	約 0.5 秒	10 개 (# 1)	100 (50/50)
# 2	0.3	10 개 (# 2)	88 (44/50)
# 3	0.3	10 개 (# 2)	94 (47/50)
全體	0.37	20 개	94 (141/150)

準偏差으로는, 이상의 formant 追跡 알고리즘에 의해 바르게 推定된 認識實驗데이터 중의 任意의 10개를 끌라 사용했다. 發聲者 3名의 平均認識率은 94 %이며, 本論文에서 提案한 追跡 알고리즘과 그를 採用한 속자음認識시스템이 有効함을 確認할 수 있었다. 本 시스템의 誤認識의 最大의 原因은 脱落極에 있으며, 그 影響을 줄이기 위해서는 frame rate나豫測次數를 높힐 必要가 있으나, 分析時間이 길어지는 缺點이 있다. 또한, 極의 脱落이 大部分 제 2 퀘멘트에서 일어나 音素 /이/로 誤認識되는 性質을 利用해, 판斷基準을 導入한다면 本 시스템으로 더욱 높은 認識率을 期待할 수 있을 것이다. 한편, 本 實驗에서는 發聲者에 따라 認識率에 큰 差가 보여, 特히 發聲者 1은 全데이터에 대해 正解가 얻어졌다. 그 理由로서는 他發聲者에 비해 發聲速度가 느린 (持續時間이 긴) 點

을 들 수 있다. 즉, 持續時間이 길어지면 分析 frame rate를 높힌 것과 同等의 效果가 나타나, formant追跡의 精度가 높아졌기 때문에 볼 수 있을 것이다

4. 結論

本論文에서는 主로 formant 周波數에 依存한 國語 숫자음認識시스템과 그를適用한 認識實驗結果에 對해 記述했다. 말머리에서의 有聲·無聲音分析에 의한分割(segmentation)을 한 후, 有聲音의 formant情報에 比較的 簡單한 formant追跡 알고리즘을 適用해서推定한 제 3 까지의 formant 周波數를 使用해, DP matching 手法에 의해 最終認識을 행했다. 成人男性 3名이 發聲한 150 개의 숫자음에 대해 認識實驗한結果 平均 94 %의 認識率을 얻었다. 本 實驗에 의해, 無聲·有聲音의 接合部에서의 パラメ터의 變化에 注目한 分割手法, formant 增定을 위한 追跡 알고리즘 및 그를 利用한 숫자음認識시스템의 有効性을 確認할 수 있었다. 한편, 追跡 알고리즘에 있어서의 보다 正確한 始點의 決定方法 및 脱落極이 繼續되는 境遇의處理方法등이 남겨진 問題點이다.

앞으로, 보다 많은 ディータ를 使用한 보다 効果的인 國語의 單語認識시스템의 開發을 目標로 한 研究를 해나갈 應定이다.

參考文獻

- 吳, 安居院: “숫자음自動認識에 關한 一實驗”, 大韓電子工學會誌, 제 15 권 제 6 호, 1978년 12월.
- 安居院, 吳; “韓國語數字音의 認識시스템에 대 해서”, 日本電子通信學會技術研究報告 PRL 79-1 ~ 11, 1979년 (日本語).
- McCandless, S. S. : “An algorithm for automatic formant extraction using linear prediction spectra”, IEEE Trans. ASSP, Vol. ASSP-22, No. 2, Apr. 1974.
- Markel, J. D. and Gray, Jr., A. H. : Linear prediction of speech, Springer-Verlag, N.Y., 1976.
- Velichko, V. M. and Zagoruyko, N. G. : “Automatic recognition of 200 words”, Int. J. Man-Machine Studies, Vol. 2, pp. 223-234, 1970.
- Sakoe, H. and Chiba, S. : “Recognition of continuously spoken words based on time-normalization by dynamic programming”, J. Acous. Socie. of Japan, Vol. 27, No. 9, 1971. (In Japanese)

